



دانشگاه صنعتی امیرکبیر
(پلی تکنیک تهران)

دوره ۴۸، شماره ۲، تابستان ۱۳۹۵، صفحه ۲۱۵ تا ۲۲۶
Vol. 48, No. 2, Summer 2016, pp. 215-226



نشریه علمی پژوهشی امیرکبیر مهندسی مکانیک
AmirKabir Journal of Science & Research
Mechanical Engineering
ASJR-ME

تحلیل عددی و تجربی شکل دهی الکترومغناطیس لوله به طرف داخل به روش کوپل

میلاد شبان پور^۱، علیرضا فلاحت آرزو دار^{۲*}

- دانشجوی دکتری، مهندسی مکانیک، دانشگاه صنعتی امیرکبیر، تهران
- دانشیار، مهندسی مکانیک، دانشگاه صنعتی امیرکبیر، تهران

(دریافت: ۱۳۹۴/۱۱/۲۶ پذیرش: ۱۳۹۴/۰۲/۲۱)

چکیده

یکی از مهم‌ترین بحث‌ها در شبیه‌سازی فرایند شکل دهی الکترومغناطیس لوله به طرف داخل، چگونگی کوپل کردن دو قسمت مغناطیسی و سازه می‌باشد. در این مقاله این فرایند، به دو روش کوپل ضعیف و کوپل ترتیبی شبیه‌سازی شده است. در روش کوپل ضعیف، این دو قسمت به صورت جدا از هم حل شده اما در حالت کوپل ترتیبی با استفاده از معادلات ماکسول و روش حل تفاضل محدود و استفاده از یک زیربرنامه در محیط نرم‌افزار آباکوس، حل این دو قسمت به صورت همزمان انجام شده است؛ از این رو تغییر شکل قطعه کار و تأثیر آن بر اندوکتانس قطعه کار در طول فرایند در روش کوپل ترتیبی لحاظ می‌شود. در روش کوپل ضعیف، میزان عمق فروروی مرکز قطعه کار در مقایسه با حالت تجربی ۳۵ درصد اختلاف دارد اما این اختلاف با استفاده از روش کوپل ترتیبی به حدود ۵ درصد می‌رسد. از مدل خسارت جانسون-کوک برای پیش‌بینی پارگی در این فرایند استفاده شده است. افزایش ولتاژ تخلیه موجب افزایش عمق فروروی و افزایش میزان خسارت جانسون-کوک شده و همچنین افزایش ضخامت قطعه کار نیز به عنوان دومین متغیر مهم، موجب کاهش میزان خسارت و درنتیجه کاهش احتمال پارگی می‌شود. به طور کلی میزان خسارت کمتر از ۰/۸ را می‌توان به عنوان یک منطقه ایمن بدون پارگی معرفی کرد.

کلمات کلیدی:

شکل دهی الکترومغناطیس، شکل دهی الکترومغناطیس لوله به طرف داخل، شبیه‌سازی کوپل ترتیبی و ضعیف، پارگی.

* نویسنده مسئول و عهده‌دار مکاتبات: Email: afallahi@aut.ac.ir

۱- مقدمه

لوله در طول فرایند توانستند به دقت خوبی در شبیه سازی برسند [۵]. در سال ۲۰۰۹ نیز، بارتلن^۷ و همکاران به مقایسه دو حالت شبیه سازی متفاوت شکل دهی الکترومغناطیس لوله به طرف داخل پرداختند و بیان کردند که با افزایش زمان، میزان تفاوت در نتایج دو حالت شبیه سازی بیشتر خواهد شد [۷]. در سال ۲۰۱۱، شاهrix و همکاران به استخراج معادلات حاکم در شکل دهی انقباضی لوله و نحوه به دست آوردن آنها از معادلات ماکسول پرداختند، سپس یک حل تحلیلی انجام داده و از نتایج آن در نرم افزار آباکوس^۸ استفاده کردند [۸]. در سال ۲۰۱۲، محمدی نیا و همکاران به بیان روش شکل دهی کوبل برای شکل دهی لوله به طرف داخل پرداختند و با استفاده از این روش تأثیر پارامترهایی مانند ولتاژ تخلیه، ضخامت لوله، لقی بین قالب و قطعه کار را بر عمق فروری مرکز قطعه کار بررسی کردند [۹].

در این پژوهش به چگونگی شبیه سازی این فرایند در دو حالت مختلف کوبل ضعیف و کوبل ترتیبی متفاوت با روش های انجام شده قبلى پرداخته می شود. از نرم افزار ماکسول برای حل قسمت مغناطیسی در روش کوبل ضعیف و از نرم افزار آباکوس برای حل قسمت سازه ای استفاده می شود. مزیت روش استفاده شده در این پژوهش نسبت به تحقیقات قبلى این است که، از یک زیر برنامه برای ایجاد فشار مغناطیسی در یک نرم افزار واحد (آباکوس) استفاده می شود و درنهایت باعث کاهش زمان حل و افزایش دقت حل خواهد شد. در ادامه دو حالت شبیه سازی با هم مقایسه شده و برتری یک روش نسبت به روش دیگر بررسی خواهد شد. تاکنون برای فرایند شکل دهی الکترومغناطیس لوله، پارگی مدل نشده است، در این پژوهش از مدل خسارت جانسون-کوک نیز برای پیش بینی پارگی استفاده می شود و سعی می شود تا میزان دقت این مدل در پیش بینی پارگی بررسی شود. در نهایت نتایج به دست آمده از شبیه سازی ها با نتایج آزمون تجربی مقایسه شده و صحه گذاری می شود.

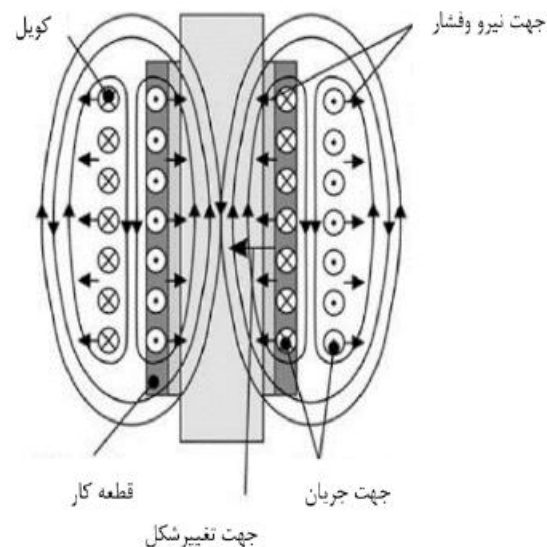
۲- تعیین فشار وارد بر لوله

فرض می شود لوله رسانا، با شعاع R ، طول l و ضخامت h داخل سیم پیچ قرار گرفته باشد. جریان تخلیه شده در سیم پیچ با استفاده از معادله (۱) تقریب زده می شود [۴]:

$$I(t) = I_0 e^{-t/\tau} \sin \omega t \quad (1)$$

که در آن I_0 بیشینه شدت جریان تخلیه مدار، τ ضریب میرایی مدار و ω فرکانس زاویه ای است. شدت جریان در قطعه کار با صرف نظر از تغییرات مقاومت و اندوکتانس قطعه کار به صورت رابطه (۲) محاسبه می شود [۴]:

فرایند شکل دهی الکترومغناطیس یکی از فرایندهای تغییر شکل مواد با سرعت و نرخ کرنش بالا است. از این فرایند برای انقباض و انبساط لوله و تغییر شکل ورق استفاده می شود. شکل ۱ اساس کار شکل دهی الکترومغناطیس لوله به طرف داخل (انقباض لوله) را نشان می دهد. مدار الکتریکی مجموعه متشکل از یک منبع تغذیه و بانک ذخیر است. با شارژ ذخیر و تخلیه ای یکباره آن جریان شدید در سیم پیچ به وجود می آید. بنابر قانون لنز^۱ نیز، یک جریان القایی در لوله به وجود می آید که با عامل به وجود آورنده خود مخالفت می کند و در نتیجه لوله از قالب دور می شود، نیروی وارد بر لوله که در اثر این دفع متقابل وارد می شود به عنوان نیروی لورنتس^۲ شناخته می شود [۱].



شکل ۱: شکل گلی فرایند شکل دهی الکترومغناطیس لوله به طرف داخل [۱]

تاكوتسا^۳ و همکاران در سال ۱۹۸۸ معادلات حاکم بر شکل دهی الکترومغناطیس ورق را استخراج کردند و یک حل عددی برای آن ارائه دادند [۲]. در سال ۱۹۹۶، فتنون و داهن^۴ یک کد رایانه ای تفاضل محدود دو بعدی را ارائه کردند که این کد می توانست به طور دقیق دینامیک فرایند شکل دهی ورق را پیش بینی کند [۳]. کوریا^۵ و همکاران در سال ۲۰۰۸ دو قسمت الکترومغناطیس و سازه ای این فرایند را مستقل از هم فرض کردند و با حل عددی معادلات ماکسول برای هندسه ای ورق تخت، فشار مغناطیسی را استخراج کردند [۴]. در سال ۲۰۰۹، هایپینگ^۶ و همکاران به شبیه سازی کوبل ترتیبی فرایند شکل دهی لوله به طرف داخل به روش المان محدود پرداختند. آنها با درنظر گرفتن تغییر هندسه

1 Lenz law

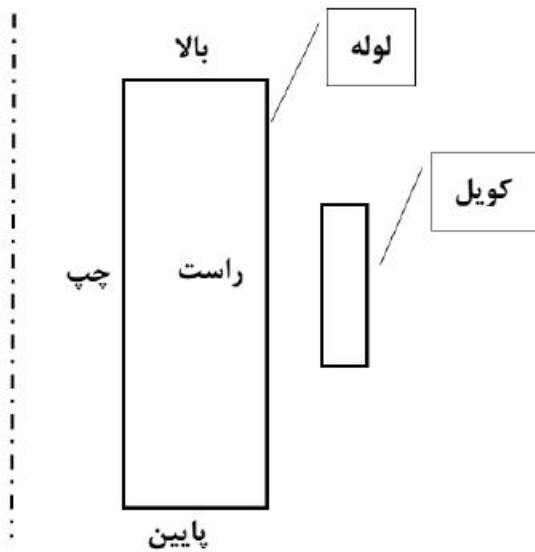
2 Lorentz

3 Takatsu

4 Fenton & Daehn

5 Kore

6 Haiping



شکل ۲: شماتیک فرایند شکل دهی لوله به همراه مرزهای آن

چگالی میدان مغناطیسی در مرز پایین لوله:

$$B_r^t(0, j) = 0 \quad (12)$$

$$B_z^t(0, j) = 0 \quad (13)$$

$$\text{چگالی میدان مغناطیسی در مرز چپ لوله:} \quad (14)$$

$$B_r^t(i, 0) = 0 \quad (15)$$

چگالی میدان مغناطیسی در مرز راست لوله:

$$B_r^t(i, m) = B_{0r}^t(0, j) + B_{1r}^t(0, j) \quad (16)$$

$$B_z^t(i, m) = B_{0z}^t(0, j) + B_{1z}^t(0, j) \quad (17)$$

که در روابط (۱۶) و (۱۷) میدان مغناطیسی B از جمع میدان سیم پیچ B_0 و میدان مغناطیسی B_1 که به واسطهٔ جریان گردابی فعال بر لوله بوجود آمده است، به دست می‌آید. میدان مغناطیسی در شرایط مرزی بالا، پایین و چپ لوله برابر صفر است. برای به دست آوردن B_0 و B_1 ، قطعه کار و سیم پیچ را به المان‌های حلقوی دایره‌ای شکل تقسیم می‌کنند و اگر جریان $I(t)$ و جریان گردابی القایی J مشخص باشند، میدان‌های مغناطیسی B_0 و B_1 از جمع همهٔ سهم‌های المان‌های حلقه‌ها به دست می‌آیند.

مولفه‌های شعاعی و محوری چگالی میدان مغناطیسی به صورت روابط (۱۸) و (۱۹) به دست می‌آید [۴]:

$$B_r = \frac{\mu_0}{2\pi} j(r_0, z_0) s_0 \frac{z}{r} \frac{1}{r[(r_0 + r)^2 + z^2]^{1/2}} \quad (18)$$

$$B_z = \frac{\mu_0}{2\pi} j(r_0, z_0) s_0 \frac{1}{[(r_0 + r)^2 + z^2]^{1/2}} \quad (19)$$

$$I_2(t) = -\frac{V_0 M}{L_1 L_2 \omega_d^2 + (\alpha - \gamma)^2} \left[\frac{\omega_d^2 - \gamma(\alpha - \gamma)}{\alpha} e^{-\gamma t} \sin(\omega t) + \omega e^{-\gamma t} \cos(\omega t) - \omega e^{-\alpha t} \right] \quad (2)$$

که در آن:

$$\gamma = \frac{R_t}{2L_t} \quad (3)$$

$$L_t = L_c + L_1 - \frac{M^2}{L_2} \quad (4)$$

$$R_t = R_c + R_1 + \frac{M^2}{L_2^2} R_2 \quad (5)$$

$$\alpha = \frac{R_2}{L_2} \quad (6)$$

در روابط بالا، γ و ω به ترتیب ضریب میراگر و فرکانس زاویه‌ای و R_t ، L_t و C به ترتیب مقاومت، اندوکتانس و ظرفیت مدار معادل می‌باشند. اندوکتانس تقریبی قطعه کار را با توجه به لوله بودن می‌توان به صورت رابطه (۷) به دست آورد [۱۰]:

$$L_t \approx \frac{\mu_0 l}{2\pi} \left[\ln\left(\frac{2l}{R}\right) - \frac{3}{4} \right] \quad (7)$$

که l و R به ترتیب طول و شعاع لوله و μ_0 نفوذپذیری هوا می‌باشد. همچنین مولفه‌های شعاعی و محوری چگالی میدان مغناطیسی به صورت رابطه (۸) و (۹) محاسبه می‌شوند [۴]:

$$-\frac{1}{\mu_0 \sigma_w} \left(\frac{\partial^2}{\partial r^2} + \frac{1}{r} \frac{\partial}{\partial r} + \frac{\partial^2}{\partial z^2} - \frac{1}{r^2} \right) B_r + \frac{\partial B_r}{\partial t} = 0 \quad (8)$$

$$-\frac{1}{\mu_0 \sigma_w} \left(\frac{\partial^2}{\partial r^2} + \frac{1}{r} \frac{\partial}{\partial r} + \frac{\partial^2}{\partial z^2} \right) B_z + \frac{\partial B_z}{\partial t} = 0 \quad (9)$$

۱ شرایط مرزی و شرایط اولیه
برای حل معادلات (۸) و (۹)، لازم است شرایط مرزی که از نوع چگالی میدان مغناطیسی است، روی هندسه لوله تعریف شود. در شکل تصویری از فرایند شکل دهی الکترومغناطیس لوله به طرف داخل نشان داده شده است. شرایط مرزی روی چهار مرز لوله به صورت روابط (۱۰) تا (۱۷) تعریف می‌شود [۸]:

چگالی میدان مغناطیسی در مرز بالای لوله:

$$B_r^t(n, j) = 0 \quad (10)$$

$$B_z^t(n, j) = 0 \quad (11)$$

مولفه های شعاعی و محوری میدان مغناطیسی بر حسب زمان به ترتیب طبق روابط (۲۴) و (۲۵) بدست می آیند [۴]:

$$B_r^{t+1}(i,j) = \frac{1}{\mu_0 \sigma_w} \frac{\Delta t}{(\Delta r)^2} \left(B_r^k(i,j+1) + B_r^k(i,j-1) \right) \quad (24)$$

$$- \frac{\Delta t}{2\Delta r(a+j\Delta r)} \frac{1}{\mu_0 \sigma_w} \left(B_r^k(i,j-1) + B_r^k(i,j+1) \right)$$

$$- \frac{\Delta t}{\mu_0 \sigma_w} \left(\frac{2}{\Delta r^2} + \frac{2}{\Delta h^2} + \frac{1}{(a+j\Delta r)^2} \right) B_r^t(i,j) \\ + B_r^t(i,j) \\ + \frac{1}{\mu_0 \sigma_w} \frac{\Delta t}{\Delta h^2} (B_r^t(i+1,j) + B_r^t(i-1,j))$$

$$B_z^{t+1}(i,j) = \frac{1}{\mu_0 \sigma_w} \frac{\Delta t}{(\Delta r)^2} \left(B_z^k(i,j+1) + B_z^k(i,j-1) \right) \quad (25) \\ - \frac{\Delta t}{2\Delta r(a+j\Delta r)} \frac{1}{\mu_0 \sigma_w} \left(B_z^k(i,j-1) + B_z^k(i,j+1) \right) \\ - \frac{\Delta t}{\mu_0 \sigma_w} \left(\frac{2}{\Delta r^2} + \frac{2}{\Delta h^2} \right) B_z^t(i,j) + B_z^t(i,j) \\ + \frac{1}{\mu_0 \sigma_w} \frac{\Delta t}{\Delta h^2} (B_z^t(i+1,j) + B_z^t(i-1,j))$$

یک طرف معادله (۲۴) و (۲۵) در زمان $t+1$ و طرف دیگر در زمان t می باشد.

در آخر فشار الکترومغناطیسی فعال بر لوله با معادلات (۲۶) و (۲۷) تخمین زده می شود.

$$P_r^t(i,j) = \sum_{i=0}^{n-1} \left[\frac{F_r^t(i,j) + F_r^t(i+1,j)}{2} \Delta h \right] \quad (26)$$

$$P_z^t(i,j) = \sum_{i=0}^{n-1} \left[\frac{F_z^t(i,j) + F_z^t(i+1,j)}{2} \Delta h \right] \quad (27)$$

به منظور حل رابطه های (۸) و (۹)، برای محاسبه B_r در معادله های (۱۸) و (۱۹)، جریان تخلیه شده در سیم پیچ و برای محاسبه B_z شدت جریان در قطعه کار قرار داده می شود.

برای حل معادله های (۱۶) و (۱۷) علاوه بر شرایط مرزی، نیاز به شرایط اولیه نیز است. در زمان $t=0$ شرایط اولیه تعریف می شود، بنابراین در این زمان در هر نقطه مانند (j,i) شرایط اولیه به صورت رابطه (۲۰) و (۲۱) تعریف می شود [۴]:

$$t = 0, B_r^0(i,j) = 0 \quad (20)$$

$$t = 0, B_z^0(i,j) = 0 \quad (21)$$

۲ روش حل تفاضلات محدود برای حل معادلات شکل دهی الکترومغناطیس لوله

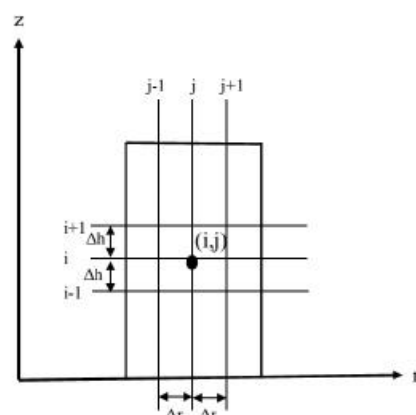
برای حل معادلات بالا از روش تفاضلات محدود استفاده می شود. در شکل ۳ شبکه مسش در سیستم مختصات استوانه ای به صورت شماتیک آورده شده است. قطعه کار به سلول هایی با اندازه $\Delta r \times \Delta h$ و به صورت یکنواخت تقسیم بندی شده است. در این شبکه هر نقطه با مختصات (i,j) به صورت رابطه (۲۲) تعریف می شود [۴]:

$$(r_j, z_i) = (a + j\Delta r, i\Delta h) \text{ with } 0 \leq i \leq n \text{ and } 0 \leq j \leq m \quad (22)$$

مقدار فاصله مکانی در جهت شعاع و ارتفاع لوله به ترتیب Δr و Δh می باشد، که از رابطه (۲۳) بدست می آیند:

$$\Delta r = \frac{h_w}{m} \text{ and } \Delta h = \frac{l_w}{n} \quad (23)$$

در روابط فوق a شعاع داخلی لوله، h_w ضخامت لوله و l_w طول لوله می باشد.

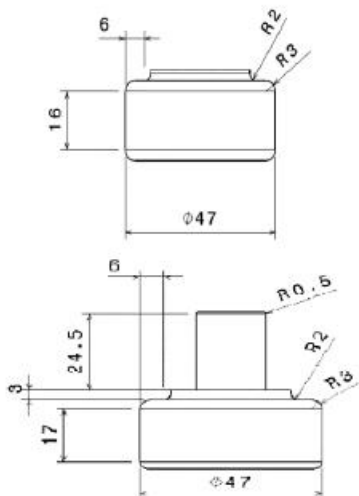


شکل ۳: شبکه مسش بندی شده برای شکل دهی لوله به طرف داخل [۴]

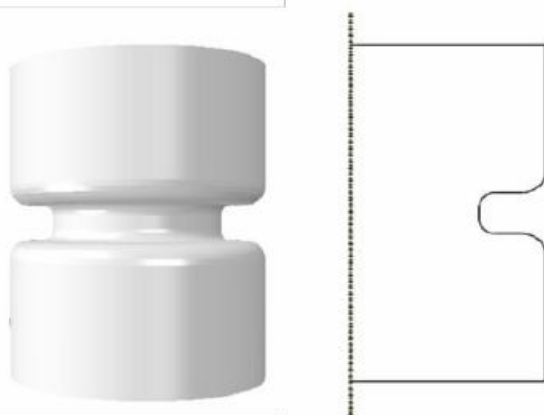
معادلات با مشتقه های جزئی، باید از روش تفاضلات محدود و روی هندسه لوله حل شوند، بنابراین با استفاده از روش حل تفاضلات محدود

جدول ۲. خواص کلی آلومینیوم T6 [۱۴] ۶۰۶۱-T6

| اندازه | خواص |
|--------|---------------------------|
| ۲۷۰ | چگالی (Kg/m^3) |
| ۷۰ | مدول الاستیسیته (GPa) |
| ۰/۳۳ | ضریب پوآسون |
| ۹۲۵ | دماهی ذوب (K) |



شکل ۴: نقشه‌ی قالب استفاده شده در شبیه‌سازی و آزمون تجربی صورت یک تابع برازش شده توسط نرم‌افزار متلب^{۱۱} در قسمت بارگذاری شبیه‌سازی تعریف شد. با توجه به صلب بودن قالب نیازی به مشبندی قالب وجود ندارد اما برای مشبندی لوله از المان SAX1 (المان پوسته‌ای) جدار نازک خطی دونقطه‌ای به تعداد ۱۰۰ عدد در طول لوله استفاده شد. با توجه به مرجع [۱۱] استفاده از تعداد ۱۰۰ عدد المان مناسب بوده و همگرایی در این حالت اثبات شده است.



شکل ۵: مدل قالب ترسیم شده در نرم‌افزار آباکوس به صورت صلب

۳- شبیه‌سازی

همان‌طور که بیان شد فرایند شکل دهی الکترومغناطیس مشکل از دو قسمت مغناطیسی و سازه می‌باشد. از این رو برای شبیه‌سازی فرایند، باید دو قسمت گفته شده مورد تحلیل قرار گیرد. به‌طور کلی دو حالت برای شبیه‌سازی این فرایند وجود دارد. یکی شبیه‌سازی غیر کوپل و یکی شبیه‌سازی کوپل. در شبیه‌سازی غیر کوپل قسمت سازه‌ای فرایند با یک فرض اولیه برای ایجاد فشار اولیه روی لوله شبیه‌سازی می‌شود. این شبیه‌سازی فقط برای مشاهده چگونگی انجام فرایند مناسب است. در شبیه‌سازی کوپل از نتایج حاصل از حل قسمت مغناطیسی در قسمت سازه‌ای استفاده می‌شود. روش کوپل خود به دو دسته‌ی کوپل ضعیف و کوپل ترتیبی تقسیم‌بندی می‌شود. در این پژوهش سعی می‌شود دو روش کوپل ضعیف و کوپل ترتیبی و چگونگی انجام آن مورد تحلیل قرار گرفته و در نهایت مقایسه شود.

۳-۱ شبیه‌سازی کوپل ضعیف

در شبیه‌سازی کوپل ضعیف ابتدا قسمت مغناطیسی فرایند حل شده و در نهایت فشار الکترومغناطیس وارد بر لوله به عنوان یک ورودی در شبیه‌سازی قسمت سازه استفاده می‌شود. در این پژوهش ابتدا حل قسمت مغناطیسی فرایند با نرم‌افزار ماکسول انجام می‌شود. بدین صورت که با مدل کردن لوله، قالب و سیم‌پیچ، حل قسمت مغناطیسی فرایند انجام شده و فشار الکترومغناطیس وارد بر لوله در زمان بیشینه شدت جریان از نرم‌افزار استخراج می‌شود. جنس سیم‌پیچ مس و مشخصات آن طبق جدول ۱ انتخاب شد. جنس قطعه کار نیز آلومینیوم و مشخصات آن طبق جدول ۲ است. نقشه‌ی قالب استفاده شده نیز در شکل ۴ آورده شده است و مطابق با نقشه‌ی قالب در آزمون تجربی می‌باشد.

جدول ۱: مشخصات سیم‌پیچ استفاده شده در شبیه‌سازی و آزمون تجربی

| مقدار | کمیت (میلیمتر) |
|-------|------------------|
| ۲۶/۱ | شعاع داخلی |
| ۴۵/۵ | شعاع خارجی |
| ۳۰ | طول سیم‌پیچ |
| ۱۳ | تعداد حلقه‌ها |
| ۲/۵ | شعاع مقطع هر سیم |

در نهایت حل قسمت سازه‌ای فرایند در نرم‌افزار آباکوس به صورت حل دینامیکی صریح^۹ انجام شد، مدل قالب صلب تحلیلی و مدل لوله به صورت سیمی^{۱۰} دارای تقارن محوری در نظر گرفته شد. مدل قالب ایجاد شده در شبیه‌سازی در شکل ۵ آمده است. فشار وارد بر لوله به

۹ Dynamic Explicit

۱۰ Wire

۳ شبیه سازی کوپل تریبی

[۱۴] استفاده شد.

۴- پارگی

یکی از مهمترین مسائل موجود در فرایند شکل دهی الکترومغناطیس لوله به طرف داخل، بحث پارگی است. در این پژوهش سعی شد که معیاری برای پیش بینی پارگی لوله معرفی شود. معیارهای متفاوتی مانند معیار شکست ویلکین^{۱۵}، معیار شکست جانسون-کوک^{۱۶}، معیار شکست بیشینه تنش برشی، معیار شکست کاکرافت-لاتهام^{۱۷}، معیار شکست کرنش ثابت، معیار شکست بانو-ویرزبیکی^{۱۸} برای نرخ کرنش بالا وجود دارد^[۱۵]. اما معیار شکست جانسون-کوک برای فرایندهای با نرخ کرنش بالا تطابق بهتری با نتایج آزمون تجربی دارد^[۱۶]. معیار خسارت جانسون-کوک متشکل از سه عبارت به صورت معادله (۲۹) می باشد:

$$\varepsilon_f = \frac{[D_1 + D_2 \exp(D_3 \sigma^*)]}{\left[1 + D_4 \ln \frac{\dot{\varepsilon}}{\dot{\varepsilon}_0}\right] \left[1 + D_5 \frac{T - T_r}{T_m - T_r}\right]} \quad (29)$$

که در آن، D_1 ثابت ماده و مرتبط به خواص و σ^* به صورت رابطه (۳۰) تعریف می شود. مقدار σ^* در بعضی از مراجع به صورت میزان خسارت نیز بیان شده است، هرگاه این میزان خسارت به عدد یک برسد قطعاً جسم پاره می شود.

$$\sigma^* = \frac{P}{\bar{\sigma}} \quad (30)$$

جدول ۳ ثوابت لازم برای معیار خسارت جانسون-کوک برای آلومینیوم 6061-T6 را نشان می دهد.

جدول ۳: جدول ۳ ضرایب معادله خسارت جانسون-کوک آلومینیوم [۱۴] 6061-T6

| اندازه | ضرایب معادله خسارت | اندازه | مشخصه |
|--------|--------------------|--------|-----------------------|
| | جانسون-کوک | | جانسون-کوک |
| -۰/۷۷ | D_1 | ۳۲۴ | A(MPa) |
| ۱/۴۵ | D_2 | ۱۱۴ | B(MPa) |
| -۰/۴۷ | D_3 | ۰/۰۰۲ | C |
| * | D_4 | ۱/۳۴ | m |
| ۱/۶ | D_5 | ۰/۴۲ | n |
| - | - | ۱ | $\dot{\varepsilon}_0$ |

در شبیه سازی کوپل تریبی باید دو قسمت مغناطیسی و سازه ای فرایند همزمان با هم حل شوند. شبیه سازی فرایند در نرم افزار آباکوس و دقیقاً مشابه قسمت شبیه سازی کوپل ضعیف انجام شد، با این تفاوت که معادلات حاکم بر فرایند شکل دهی الکترومغناطیس لوله به صورت یک زیر برنامه VDLOAD در نرم افزار آباکوس برای ایجاد فشار الکترومغناطیس استفاده شد. زیر برنامه ابتدا با توجه به ورودی های مانند هندسه لوله، هندسه سیم پیچ، پارامترهای الکتریکی و مغناطیسی سیم پیچ و لوله، فرکانس زاویه ای، ضریب میرایی مدار، بیشینه شدت جریان تخلیه مدار را محاسبه کرده و سپس به محاسبه شدت جریان تخلیه شده در سیم پیچ می پردازد. در ادامه مؤلفه های شعاعی و محوری چگالی میدان مغناطیسی محاسبه می شود. پس از آن مؤلفه های شعاعی و محوری میدان مغناطیسی، مؤلفه های شعاعی و محوری نیروی لورنتس و در آخر فشار الکترومغناطیس وارد بر لوله برای هر گره محاسبه می شود. این فشار به صورت یک فشار مکانیکی بر قطعه کار وارد می شود و در هر گام زمانی، هندسه ای قطعه کار در زیر برنامه به روز آوری می شود و این چرخه ادامه می یابد تا زمان کل تحلیل به پایان برسد^[۹]. در این پژوهش زمان کل تحلیل با توجه به شبیه سازی قسمت مغناطیسی برابر با ۵۰ میکرو ثانیه و گام زمانی ۱/۰ میکرو ثانیه در نظر گرفته می شود.

یکی از قسمت های مهم در نرم افزار آباکوس تعریف خواص مواد می باشد. همان طور که قبل ایان شد فرایند شکل دهی الکترومغناطیس، یک فرایند نرخ کرنش بالاست. از این رو در تعریف خواص مواد از مدل جانسون-کوک طبق رابطه (۲۸) برای تعریف رفتار ماده استفاده می شود

[۱۱ و ۱۲]

$$\bar{\sigma} = [A + B \dot{\varepsilon}^m] \left[1 + C \ln \left(\frac{\dot{\varepsilon}}{\dot{\varepsilon}_0} \right) \right]^{1/m} \quad (28)$$

که در آن $\bar{\sigma}$ تنش جریان ماده، A و B برابر تنش تسلیم اولیه ماده و ضریب سختی در دمای محیط، T دمای قطعه کار، T_m دمای ذوب ماده، T_r دمای تبدیل (عموماً دمای محیط)، C ضریب حساسیت به نرخ کرنش، m ضریب نرم شوندگی در دماهای بالا، $\dot{\varepsilon}$ نرخ کرنش پلاستیک لحظه ای و $\dot{\varepsilon}_0$ نرخ کرنش پلاستیک مرجع می باشد^[۱۲]. ژیاوه^{۱۲} و همکارانش در سال ۲۰۱۲ برای فرایند شکل دهی انبساطی لوله، میزان افزایش دما در ناحیه مرکز فروروی لوله را حدود ۵ درجه سانتی گراد گزارش کردند، از این رو با توجه به محدود بودن افزایش دما و عدم تأثیر آن بر فرایند می توان از اثر دما صرف نظر کرد^[۱۳].

برای به دست آوردن ضرایب معادله جانسون-کوک نیاز به آزمون میله هاپکینسون^{۱۴} با نرخ کرنش بالا و دماهای مختلف می باشد. در این پژوهش از آلومینیوم 6061-T6 با خواص مطابق جدول ۳ و طبق مرجع

[۱۲] Xiaohui

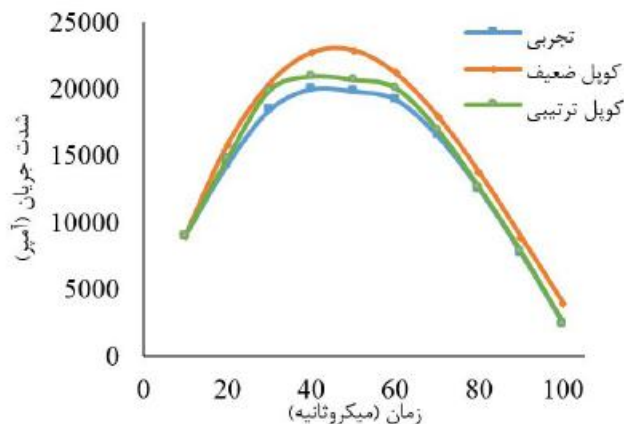
[۱۳] Hopkinson bar test

14 Wilkins
15 Cockcroft-Latham
16 Bao-Wierzbicki

پس از آن نمونه‌ها با استفاده از تراشکاری داخلی و خارجی و استفاده از یک مندلر برای جلوگیری از تغییر میزان گردی در طول لوله و کاهش میزان تنفس باقی‌مانده در لوله، به قطر موردنظر و طول ۵ میلیمتر، رسید. برای ثبت جریان نیز از سیم پیچ ^{۱۸} و نوسان‌نمای ^{۱۹} استفاده شد. برای اندازه‌گیری عمق فرروی مرکز قطعه کار نیز از کولیس با حساسیت ۰/۰۲ میلیمتر استفاده شد.

۶- تحلیل نتایج

در شکل ۷ نتایج مربوط به تغییرات شدت جریان در طول زمان در سه حالت تجربی و شبیه‌سازی کوپل و غیر کوپل برای ولتاژ ۴۰۰۰ ولت آمده است. در مرجع [۷] این نمودار به صورت سینوسی رسم شده است اما در شکل ۷ قسمتی از نمودار رسم شده و حالت سینوسی خود را از دست داده است، چون قله اول جریان برای شکل دهی مهم است و بیشینه فشار الکترومناطیس در این زمان اتفاق می‌افتد.



شکل ۷: نمودار تغییرات جریان بر حسب زمان برای سه حالت شبیه‌سازی کوپل، غیر کوپل و آزمون تجربی در ولتاژ ۴۰۰۰ ولت

همان‌طور که از نمودار شکل ۷ مشخص است دو حالت کوپل ترتیبی و تجربی تقریباً بر هم منطبق هستند اما در حالت غیر کوپل نمودار متفاوت از دو حالت می‌باشد و زمانی که نمودار به بیشینه جریان خود می‌رسد بیشتر از حالت شبیه‌سازی کوپل ترتیبی است. دلیل این امر آن است که در حین شبیه‌سازی کوپل ضعیف با نرم‌افزار ماکسول، اندوکتانس ناشی از تغییر شکل قطعه کار ثابت فرض شده ولی در عمل با فاصله گرفتن قطعه از سیم پیچ، اندوکتانس قطعه افزایش می‌یابد، بنابراین جریان مربوط به شبیه‌سازی کوپل ضعیف بیشتر از مقدار تجربی و کوپل ترتیبی خواهد بود و زمان رسیدن به بیشینه جریان نیز برای کوپل ضعیف دیرتر اتفاق می‌افتد.

در شکل ۸ جابجایی شعاعی قطعه کار در طول لوله برای دو حالت شبیه‌سازی کوپل و غیر کوپل در ولتاژ تخلیه ۴۵۰۰ ولت، ضخامت لوله ۰/۵ میلیمتر و لقی بین قالب و لوله ۱/۰ میلیمتر آمده است. لقی بین قالب با لوله با حرف *c* در زیرنویس شکل نشان داده شده است.

۱۸ Rogowski coil

۱۹ Oscilloscope

۵- آزمون تجربی

دستگاه الکترومناطیس استفاده شده در آزمایشگاه مطابق شکل ۶ مشکل از ۱- قالب، ۲- سیم پیچ، ۳- سونیچ، ۴- بانک خازن، ۵- منبع تغذیه و ۶- قسمت کنترل می‌باشد.



شکل ۶: تجهیزات آزمایش تجربی

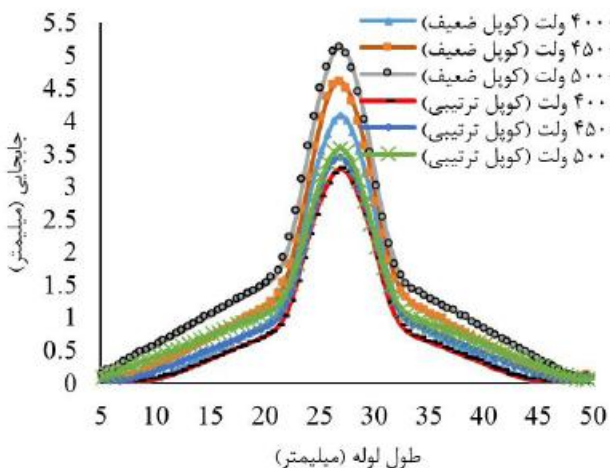
مشخصات سیم پیچ استفاده شده در آزمون تجربی در جدول ۱ آمده است. ابتدا ۶ عدد لوله برای بررسی دو پارامتر ولتاژ تخلیه و ضخامت قطعه کار در سه سطح مطابق جدول ۴ از جنس آلومینیوم ۶۰۶۱ (کواتومتری) و برای تأیید جنس آن نیز آزمایش اسپکترومتری نشری ^{۱۰} (کواتومتری) انجام شد. نتایج مربوط به تعیین ترکیب شیمیایی توسط آزمون کواتومتری در جدول ۵ آمده است. با مقایسه نتایج به دست آمده با استاندارد ASTM برای ترکیب شیمیایی آلومینیوم درستی جنس نمونه تأیید شد.

جدول ۴: پارامترهای و سطوح آن در آزمون تجربی

| بارامتر | سطح ۳ | سطح ۲ | سطح ۱ | سطح |
|-------------------|-------|-------|-------|-----|
| ولتاژ تخلیه (ولت) | ۴۵۰۰ | ۴۰۰۰ | ۴۰۰۰ | |
| ضخامت لوله | ۰/۷ | ۰/۶ | ۰/۵ | |

جدول ۵: نتایج به دست آمده از آزمون کواتومتری

| ترکیب شیمیایی | درصد وزنی شیمیایی | درصد وزنی درصد وزنی | ترکیب درصد وزنی |
|---------------|-------------------|---------------------|-----------------|
| Zn | ۰/۲۰۱ | ۰/۱۴۲ | ۰/۰۰۰۳ |
| Ti | ۰/۵۸۱ | ۰/۰۰۰۴۴ | ۰/۰۰۰۳۹ |
| Fe | ۰/۶۰۱ | ۰/۰۰۰۴۵ | ۰/۰۰۰۴۵ |
| Cu | ۰/۲۹۴ | ۰/۰۰۰۴۴ | ۰/۰۰۰۴۵ |
| Mn | ۰/۰۶۰۳ | ۰/۰۰۰۴۴ | ۰/۰۰۰۴۵ |
| Mg | ۰/۹۰۴ | ۰/۰۰۰۴۹ | ۰/۰۰۰۴۹ |
| Cr | ۰/۱۲۱ | ۰/۰۰۰۴۵ | ۰/۰۰۰۴۵ |
| Ni | ۰/۰۱۵۴ | ۰/۰۰۰۱۶ | ۰/۰۰۰۱۶ |



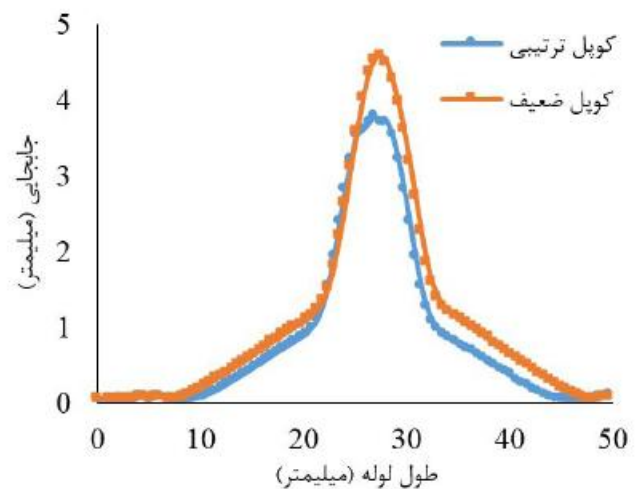
شکل ۹: تأثیر ولتاژ تخلیه بر جابجایی ساعی قطعه کار در دو حالت شبیه سازی کوبیل و غیر کوبیل $t=0.5 \text{ mm}, c=0.1 \text{ mm}$

جدول ۶ میزان عمق فروروی مرکز قطعه کار را در سه حالت شبیه سازی کوبیل ضعیف، کوبیل ترتیبی و آزمون تجربی برای ضخامت های متفاوت در ولتاژ تخلیه 4000 ولت و لقی بین قالب و قطعه کار ثابت 0.1 mm نشان می دهد.

از جدول ۶ میتوان نتیجه گرفت که با افزایش ضخامت قطعه کار میزان عمق فروروی مرکز قطعه کار کاهش می یابد. این امر به دلیل افزایش مقاومت ماده به تغییر شکل در اثر افزایش حجم ماده موردنظر برای تغییر شکل پلاستیک است. درصد اختلاف حالت شبیه سازی کوبیل ضعیف و آزمون تجربی به حدود 35 درصد رسیده است اما این اختلاف با استفاده از شبیه سازی کوبیل ترتیبی به حدود 5 درصد کاهش یافته است. در مرجع [۱۱] نیز میزان اختلاف برای حالت شبیه سازی غیر کوبیل برای ولتاژ تخلیه 4300 ولت، 31 درصد گزارش شده است. دلیل این اختلاف زیاد در حالت شبیه سازی کوبیل ضعیف، عدم درنظر گرفتن تغییر شکل قطعه کار در طول فرایند و تغییر اندوکتانس آن و تأثیر مستقیم آن بر فشار الکترومغناطیس وارد بر لوله است. با افزایش ضخامت قطعه کار از میزان عمق فروروی کاسته می شود درنتیجه میزان تغییر اندوکتانس قطعه کار نیز در طول فرایند کاهش می یابد و میزان تأثیر آن بر فشار الکترومغناطیس و درنتیجه میزان خطا به دنبال آن کاهش خواهد یافت. همچنین با افزایش ضخامت قطعه کار، میزان خسارت جانسون-کوک نیز کمتر شده است و این امر به دلیل کاهش عمق فروروی و درنتیجه کاهش احتمال پارگی است.

شکل ۱۰ کرنش لگاریتمی در جهت ضخامت روی طول لوله برای ولتاژ تخلیه 4500 ولت، ضخامت لوله 0.5 mm و لقی بین قالب و لوله 0.1 mm میلیمتر را نشان می دهد. میزان کرنش مثبت در مرکز لوله و نزدیک به نوک بید نشان دهنده افزایش ضخامت در نوک بید و کرنش منفی در نزدیکی شعاع قالب نشان دهنده کاهش ضخامت و نازک شدنی در این ناحیه است.

همان گونه که نمودار شکل ۸ نشان می دهد، بیشینه تغییر شکل قطعه کار در مرکز آن رخ می دهد و میزان عمق فروروی در حالت شبیه سازی کوبیل ضعیف بیشتر از حالت کوبیل ترتیبی است. این امر به دلیل درنظر نگرفتن تغییرات اندوکتانس قطعه کار در طول فرایند و ناشی از فاصله گرفتن قطعه کار از سیم پیچ در شبیه سازی کوبیل ضعیف است. اما چون در حالت کوبیل ترتیبی این فاصله گرفتن از سیم پیچ و تغییرات اندوکتانس قطعه کار لحاظ شده است، مقدار فشار وارد بر مرکز قطعه کار کاهش می یابد و درنتیجه میزان عمق فروروی نیز کمتر می شود.

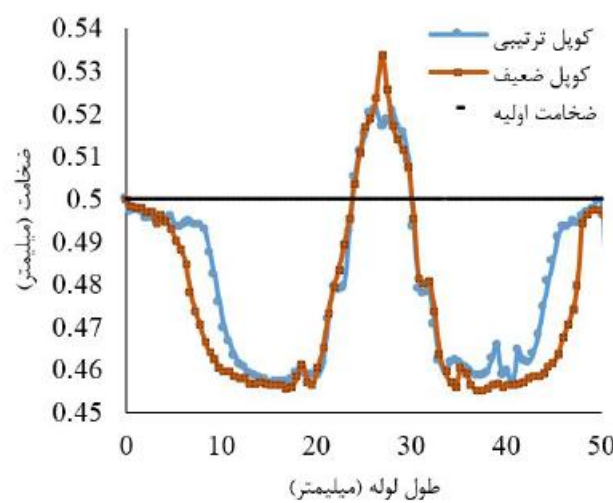


شکل ۸: نمودار جابجایی ساعی قطعه کار در طول آن برای دو حالت شبیه سازی کوبیل و غیر کوبیل $t=0.5 \text{ mm}, c=0.1 \text{ mm}$

در شکل ۹ نتایج مربوط به افزایش ولتاژ تخلیه و تأثیر آن بر میزان جابجایی قطعه کار در طول زمان برای دو حالت شبیه سازی کوبیل ضعیف و کوبیل ترتیبی برای ضخامت اولیه 0.5 mm و لقی بین قالب و لوله 0.1 mm ارائه شده است. همان طور که دیده می شود با افزایش ولتاژ تخلیه به دلیل افزایش میزان فروروی، دو نمودار مربوط به شبیه سازی کوبیل ضعیف و ترتیبی بیشتر فاصله می گیرد (در حالت بیشینه به 35% درصد اختلاف می رسد) و این امر به دلیل تغییرات بیشتر اندوکتانس لوله ناشی از فاصله گرفتن بیشتر قطعه کار از سیم پیچ در پی افزایش عمق فروروی است. در مرجع [۵۶] نیز برای ولتاژ 2400 ولت، مقدار عمق فروروی مرکز قطعه کار برای حالت کوبیل ترتیبی، کوبیل ضعیف و حالت تجربی به ترتیب $1/85 \text{ mm}$ ، 2 mm و $1/8 \text{ mm}$ میلیمتر گزارش شده است که 11 درصد اختلاف بین نتایج کوبیل ضعیف و آزمون تجربی وجود دارد و این امر به دلیل کم بودن عمق فروروی و درنتیجه تأثیر کمتر تغییرات اندوکتانس بر این اختلاف است.

جدول ۶: نتایج مربوط به عمق فروروی مرکز قطعه‌کار و میزان خسارت جانسون کوک برای سه ضخامت مختلف و درسه حالت شبیه‌سازی کوبل.
غیر کوبل و آزمون تجربی $V=400\text{V}$, $t=0.5\text{ mm}$, $c=0.1\text{ mm}$

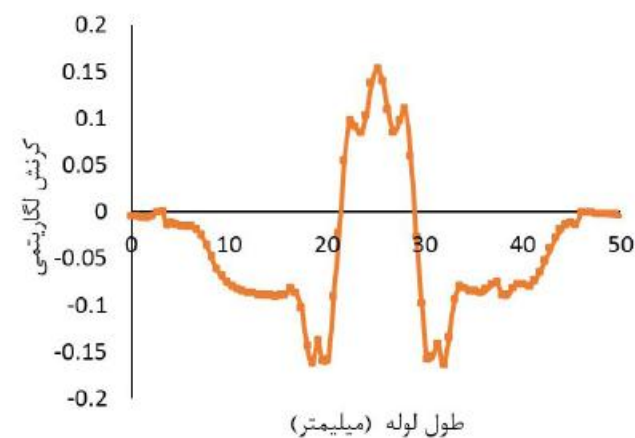
| ضخامت قطعه-کار (mm) | تجربی (mm) | کوبل ترتیبی (mm) | عمق فروروی (mm) | کوبل ضعیف (mm) | درصد اختلاف تجربی و کوبل ضعیف | میزان خسارت جانسون-کوک |
|---------------------|------------|------------------|-----------------|----------------|-------------------------------|------------------------|
| ۰.۱۵ | ۲/۷۵ | ۲/۸۹ | ۳/۷۲ | ۳۵/۳ | ۵/۱ | ۰/۴۴ |
| ۰.۱۶ | ۲/۶۸ | ۲/۸۱ | ۳/۵۵ | ۳۲/۴۶ | ۴/۸۵ | ۰/۳۷ |
| ۰.۱۷ | ۲/۵۶ | ۲/۶۷ | ۳/۴۵ | ۳۰/۸ | ۴/۳ | ۰/۳۵ |



شکل ۱۱: تغییرات ضخامت قطعه‌کار در طول آن برای دو حالت شبیه‌سازی کوبل و غیر کوبل $V=450\text{V}$, $t=0.5\text{ mm}$, $c=0.1\text{ mm}$

از شکل ۱۲ کاملاً مشخص است که، در ابتدا تا زمان حدود ۲۵ میکروثانیه تغییرات ضخامت مرکز فرورفتگی ناچیز است، پس از آن تا زمان حدود ۳۰ میکروثانیه ضخامت افزایش یافته و پس از آن کاهش ضخامت رخ می‌دهد. در حالت شبیه‌سازی کوبل ضعیف چون میزان فشار اعمالی به قطعه‌کار بیشتر از حالت کوبل ترتیبی است، ضخامت ابتدا بیشتر افزایش می‌یابد.

در صورتی که عمق فروروی خیلی بیشتر باشد به علت وجود تشکیعی در مرکز قطعه‌کار در نهایت ضخامت در حالت کوبل ضعیف کمتر از حالت کوبل ترتیبی می‌شود. همچنین در حالت کوبل ضعیف چون جریان بیشینه در زمان بزرگتری نسبت به کوبل ترتیبی اتفاق می‌افتد پس زمانی که در آن ضخامت قطعه‌کار شروع به افزایش کرده و پس از آن کاهش می‌یابد، برای کوبل ضعیف بیشتر از کوبل ترتیبی است. در شکل ۱۳ نیز نمودار تنش محیطی برای مرکز فرورفتگی قطعه‌کار را در ولتاژ تخلیه ۴۰۰۰ ولت، ضخامت 0.5 mm ، میلیمتر و لقی بین قالب و قطعه‌کار 0.1 mm بر حسب زمان برای دو حالت شبیه‌سازی کوبل ترتیبی و کوبل ضعیف نشان می‌دهد.



شکل ۱۰: تغییرات کرنش لگاریتمی در جهت ضخامت قطعه‌کار در طول آن. $V=450\text{V}$, $t=0.5\text{ mm}$, $c=0.1\text{ mm}$

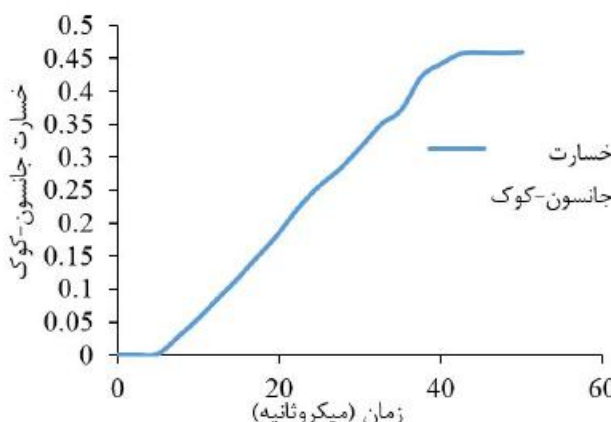
شکل ۱۱ میزان تغییرات ضخامت قطعه‌کار در طول آن را بر حسب اطلاعات بدست آمده از گره‌ها در زمان بیشینه شدت جریان الکتریکی برای دو حالت شبیه‌سازی کوبل ترتیبی و کوبل ضعیف در ولتاژ تخلیه ۴۵۰۰ ولت و ضخامت اولیه 0.5 mm و لقی بین قالب و لوله 0.1 mm نشان می‌دهد.

همان‌گونه در شکل ۱۱ مشاهده می‌شود در ناحیه وسط قطعه‌کار به دلیل وجود تنش‌های فشاری، ضخامت قطعه‌کار افزایش یافته است و در نواحی روی شعاع قالب نیز به دلیل وجود تنش کششی، از ضخامت قطعه‌کار کاسته شده است. همچنین به خوبی مشخص است که در حالت شبیه‌سازی کوبل ضعیف این افزایش و کاهش ضخامت بیشتر از حالت شبیه‌سازی کوبل ترتیبی است زیرا در حالت شبیه‌سازی کوبل ضعیف میزان افزایش عمق فروروی مرکز قطعه‌کار بیشتر بوده و درنتیجه تنش کششی بیشتر روی شعاع قالب و تنش فشاری بیشتری نیز روی مرکز قطعه‌کار به وجود می‌آید.

شکل ۱۲ تغییرات ضخامت مرکز فرورفتگی قطعه‌کار را در ولتاژ تخلیه ۴۰۰۰ ولت، ضخامت 0.5 mm ، میلیمتر و لقی بین قالب و قطعه‌کار 0.1 mm بر حسب زمان برای دو حالت شبیه‌سازی کوبل ترتیبی و کوبل ضعیف نشان می‌دهد.

منطقه اینم بدون پارگی معرفی کرد.

شکل ۱۶ (الف)، توزیع تنش ون میزز در انتهای زمان پایانی فرایند و (ب) لوله شکل دهی شده در آزمون تجربی را در ولتاژ تخلیه ۴۰۰۰ ولت و ضخامت لوله ۵/۰ میلیمتر و لقی بین قالب و لوله ۱/۰ میلیمتر نشان می‌دهد. بیشینه تنش در مرکز فرورفتگی قطعه کار ایجاد شده است، نواحی روی شعاع قالب نیز پس از آن بیشترین تنش را دارند.



شکل ۱۴: تغییرات میزان خسارت جانسون-کوک برای مرکز فرورفتگی قطعه کار در طول زمان $v=4000V, t=0/5 \text{ mm}, c=0/1 \text{ mm}$

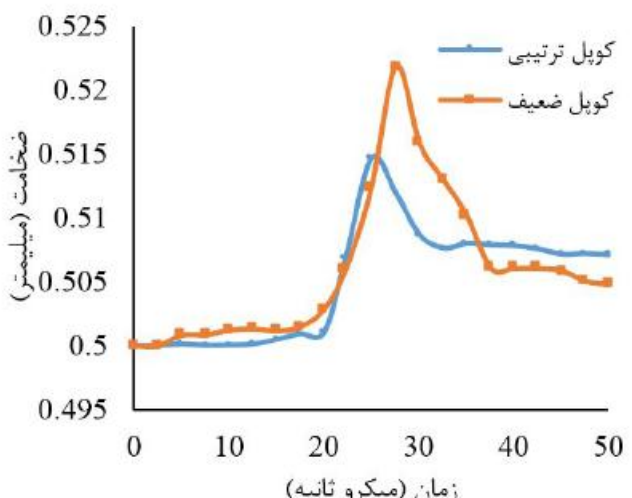


شکل ۱۵: لوله شکل دهی شده در آزمون تجربی برای $v=6200V, t=0/6 \text{ mm}, c=0/1 \text{ mm}$

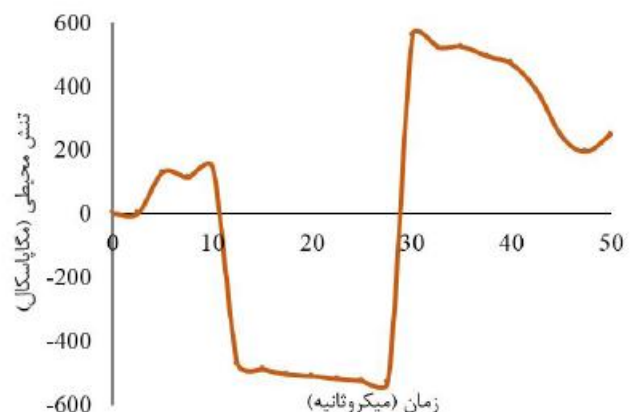
۷- نتیجه گیری

در این مقاله شبیه‌سازی فرایند شکل دهی الکترومغناطیس لوله به طرف داخل به دو روش کوبل ضعیف و کوبل ترتیبی انجام شد و برای بیشینه پارگی نیز از معیار خسارت جانسون-کوک استفاده شد. به طور کلی نتایج زیر به دست آمد:

۱. میزان عمق فروروی مرکز قطعه کار در حالت شبیه‌سازی کوبل ضعیف بیشتر از حالت کوبل ترتیبی است. اختلاف میزان عمق فروروی مرکز قطعه کار در حالت کوبل ضعیف در مقایسه با آزمون تجربی حدود ۳۵ درصد است این در حالی است که این اختلاف برای شبیه‌سازی کوبل ترتیبی به حدود ۵ درصد رسیده است.



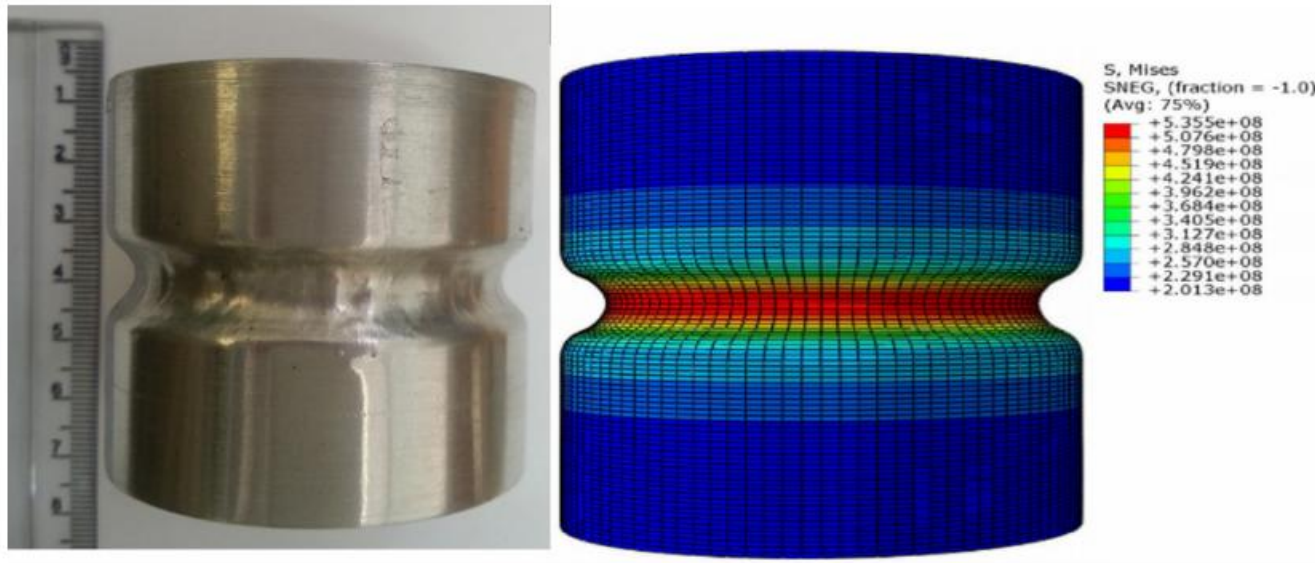
شکل ۱۲: تغییرات ضخامت مرکز فرورفتگی قطعه کار در طول زمان $v=4500V, t=0/5 \text{ mm}, c=0/1 \text{ mm}$



شکل ۱۳: تغییرات تنش محیطی مرکز فرورفتگی قطعه کار در طول زمان $v=4500V, t=0/5 \text{ mm}, c=0/1 \text{ mm}$

با توجه به شکل ۱۳، مشخص است که تا زمان ۳۰ میکروثانیه در مرکز فرورفتگی تنش فشاری و پس از آن تنش کششی اعمال می‌شود و نازک شدنی به وجود می‌آید. اما به طور کلی ضخامت مرکز فرورفتگی افزایش می‌یابد.

شکل ۱۴ نمودار مربوط به میزان خسارت جانسون-کوک را در طول زمان برای المان روی مرکز فرورفتگی قطعه کار در ولتاژ تخلیه ۴۰۰۰ ولت، ضخامت ۵/۰ میلیمتر و لقی بین قالب و قطعه کار ۱/۰ میلیمتر در شبیه‌سازی کوبل ترتیبی نشان می‌دهد. همان‌طور که مشخص است بیشینه خسارت به حدود ۴۵/۰ رسیده است و در حالت آزمون تجربی نیز لوله سالم و بدون پارگی بود. برای بررسی پارگی از ولتاژ تخلیه ۶۲۰۰ ولت، ضخامت لوله ۶/۰ میلیمتر و لقی بین قالب و لوله ۱/۰ میلیمتر استفاده شد. در حالت شبیه‌سازی مقدار خسارت به ۸۵/۰ رسید و در آزمون تجربی نیز مانند شکل ۱۵ لوله به طور کامل پاره شد. پس مشاهده می‌شود که در این فرایند نیاز به رسیدن مقدار خسارت به عدد یک وجود ندارد از این رو می‌توان به صورت محافظه کارانه مقدار خسارت کمتر از ۸/۰ رسید.



شکل ۱۶: (الف) تغییرات تنش ون میزز در قطعه کار در انتهای فرایند (ب) نمونه قطعه کار نهایی در آزمون تجربی $V=4000\text{V}$, $t=0.5\text{mm}$, $c=0.1\text{mm}$

| | |
|--|------------|
| اندوکتانس قطعه کار (H) | L_1 |
| اندوکتانس سیم پیچ (H) | L_2 |
| مقاومت مدار (Ω) | R_1 |
| مقاومت قطعه کار (Ω) | R_2 |
| مقاومت سیم پیچ (Ω) | R_3 |
| القای متناظر بین سیم پیچ و قطعه کار | M |
| طول لوله (m) | l_w |
| شعاع لوله (m) | R |
| فاصله لوله و سیم پیچ (m) | d |
| چگالی میدان مغناطیسی (T) | B |
| چگالی میدان مغناطیسی در راستای شعاعی (T) | B_r |
| چگالی میدان مغناطیسی در راستای محوری (T) | B_z |
| میدان سیم پیچ (T) | B_0 |
| شعاع داخلی لوله (m) | r_o |
| میدان مغناطیسی حاصل از جریان گردابی (T) | B_i |
| شعاع داخلی لوله (m) | a |
| مقدار فاصله مکانی در جهت شعاع لوله (m) | Δr |
| مقدار فاصله مکانی در جهت ارتفاع لوله (m) | Δh |
| تعداد تقسیمات در جهت شعاع | m |
| تعداد تقسیمات در جهت طول | n |
| ضخامت لوله (m) | h_w |
| تغییرات زمان (s) | Δt |

۲. حداکثر میزان نازک شدن روی شعاع قالب اتفاق می‌افتد و دلیل آن وجود تنش‌های کششی در این ناحیه است. همچنین حداکثر افزایش ضخامت نیز در مرکز فروروی قطعه کار اتفاق می‌افتد و دلیل آن وجود تنش‌های فشاری در این ناحیه است.
۳. ضخامت مرکز قطعه کار در ابتدای فرایند افزایش یافته و پس از آن به دلیل افزایش عمق فروروی بیشتر، کاهش می‌یابد، اما در نهایت ضخامت این ناحیه نسبت به ضخامت اولیه افزایش می‌یابد.
۴. افزایش ولتاژ تخلیه موجب افزایش عمق فروروی روی قطعه کار و در نتیجه افزایش میزان خسارت جانسون-کوك خواهد شد، در مقابل افزایش ضخامت موجب کاهش عمق فروروی و در نتیجه کاهش احتمال پارگی می‌شود. به صورت محافظه کارانه، خسارت کمتر از $1/8$ را می‌توان به عنوان منطقه ایمن بدون پارگی معرفی کرد.

۸- فهرست علائم

| | |
|---------------------------------|--------|
| جریان تخلیه شده در سیم پیچ (A) | $I(t)$ |
| بیشینه شدت جریان تخلیه مدار (A) | I_0 |
| زمان (s) | t |
| سرعت (ms^{-1}) | V_0 |
| اندوکتانس کل مدار (H) | L_t |
| مقاومت کل مدار (Ω) | R_t |
| ظرفیت کل مدار (F) | C |
| اندوکتانس مدار (H) | L_1 |

- by finite element analysis", *Journal of Materials Processing Technology*, 209, pp. 707-713.
- [6] Y. U. Haiping, L. I. Chunfeng, 2009. "Effects of current frequency on electromagnetic tube compression", *Journal of Materials Processing Technology*, 209, No. 2, pp. 1053-1059.
- [7] G. Bartels, W. Schatzing, H. P. Scheibe, M. Leone, 2009. "comparison of two different simulation algorithms for the electromagnetic tube compression ", *Int J Mater Form*, 2, pp. 693-696.
- [8] R. Shahrokh, 2012. "Calculating Electromagnetic Force and Simulation of Inward Tube Forming by Electromagnetic Forming", *Master of Science Thesis*, Mechanical Engineering, Isfahan University of Technology. (In Persian)
- [9] M. Mohamadinia, 2012. " Couple simulation of Tube Electro-magnetic inward forming", *Master of Science Thesis*, Mechanical Engineering, Amirkabir University of Technology. (In Persian)
- [10] M. T. Thompson, 1999. Inductance Calculation Techniques Inductance Calculation Techniques, *online symposium for electrical engineering*.
- [11] A. R. Fallahi, H. Ebrahimi, M. Farzin, 2012. "Numerical and Experimental Investigation of Inward Tube Electromagnetic forming- Electromagnetic Study", *Advanced Materials Research*, 383-390, pp. 6710-6716.
- [12] G. R. Johnson, W. H. Cook, 1983. "A constitutive model and data for metals subjected to large strains, high strain rates and high temperatures", In Proc. 7th International Symposium on Ballistics, pp. 541-547.
- [13] C. Xiaohui, M. Jianhua, H. Fei, 2012. "3D Multi-physics field simulation of electromagnetic tube forming", *Int J Adv Manuf Technol*, 59, pp. 521-529.
- [14] B.M. Corbett, 2006. "Numerical simulations of target hole diameters for hypervelocity impacts into elevated and room temperature bumpers", *International Journal of Impact Engineering*, 33, pp. 431-440.
- [15] Wierzbicki T, Bao, Y., Lee, Y.W., Bai, Y., 2005. "Calibration and evaluation of seven fracture models", *International Journal of Mechanical Sciences*, pp. 719-743.
- [16] Wang X, Shi, J, 2013. "Validation of Johnson-Cook plasticity and damage model using impact experiment", *International Journal of Impact Engineering*, 60.

| | |
|---------------------------------|--------------------|
| فشار مغناطیسی در جهت شعاعی (Pa) | P_r |
| فشار مغناطیسی در جهت محوری (Pa) | P_z |
| ثابت ماده | A |
| ثابت ماده | B |
| ضریب نرم شدگی در دمای بالا | m |
| ضریب کارسختی | n |
| ضریب حساسیت به نرخ کرنش | C |
| دمای لحظه‌ای ($^{\circ}$ C) | T |
| دمای تبدیل ($^{\circ}$ C) | T_r |
| دمای ذوب ($^{\circ}$ C) | T_m |
| لقی بین قالب و لوله (mm) | c |
| علامه یونانی | |
| ضریب میرایی مدار | τ |
| فرکانس زاویه‌ای | ω |
| نسبت مقاومت به اندوکتانس | a |
| ضریم میراگر | γ |
| نفوذپذیری هوا | μ_0 |
| نرخ کرنش پلاستیک لحظه‌ای | $\bar{\epsilon}$ |
| نرخ کرنش پلاستیک مرجع | $\dot{\epsilon}_0$ |

- مراجع -

- [1] V. Psyk, D. Risch, B. L. Kinsey, A. E. Tekkaya, M. Kleiner, 2011. "Electromagnetic forming—A review", *Journal of Materials Processing Technology*, 211, pp. 787-729.
- [2] N. Takatsu, M. Kato, K. Sato, T. Tobe, 1988. "High speed forming of metal sheets by electromagnetic forces", *International Journal of Japanese Society for Mechanical Engineering*, pp. 142-148.
- [3] G. K. Fenton, G. S. Daehn, 1998. "Modeling of electromagnetically formed sheet metal", *Journal of Materials Processing Technology*, 75, No. 1, pp. 6-16.
- [4] J. P. M. Correia, M. A. Siddiqui, S. B. S. Ahzi, R. Davies, 2008. "A simple model to simulate electromagnetic sheet free bulging process", *Internatioal Journal of Mechanical sciences*, pp. 1466-1475.
- [5] Y. U. Haiping, L. I. Chunfeng, D. E. N. G. Jianghua, 2009. "Sequential coupling simulation for electromagnetic-mechanical tube compression